

- [2] Месяц Г.А., Проскуровский Д.И. Импульсный электрический разряд в вакууме. Новосибирск: Наука, 1984. 256 с.
- [3] Невровский В.А., Ярославский В.Н. // Радиотехника и электроника. 1988. Т. 22. В. 4. С. 808-813.
- [4] Dyke W.P., Charbonier F.M., Strayer R.W., Floyd R.L., Barbour J.P., Trolan J.K. // J. Appl. Phys. 1960. V. 5. N 5. P. 791-805.
- [5] Горошков Б.И. Радиоэлектронные устройства: Справочник. М.: Радио и связь, 1985. 400 с.

Поступило в Редакцию  
5 сентября 1989 г.

Письма в ЖТФ, том 15, вып. 23            12 декабря 1989 г.

## 06.2

### РАСПРЕДЕЛЕНИЕ РАДИАЦИОННЫХ ДЕФЕКТОВ В ПЛЕНКАХ $PbSe$ ПРИ АЛЬФА-ОБЛУЧЕНИИ

Д.М. Фрейк, Я.П. Салий,  
А.Д. Фрейк, Р.И. Собкович

1. Облучение полупроводниковых материалов заряженными частицами высоких энергий приводит к контролируемому изменению их физических свойств [1, 2]. Поэтому изучение профилей распределения радиационных дефектов является практически важной задачей.

В настоящей работе впервые изучено распределение радиационных дефектов при альфа-облучении по определению дозовой зависимости полного сопротивления пленок  $PbSe$  различной толщины.

Образцы для исследования выращивали методом горячей стенки в вакууме  $10^{-4}$  Па на монокристаллических подложках из  $BaF_2$ , сколотых по плоскости (111) [3]. Скорость роста пленок составляла  $\sim 3$  мм/с, а их толщины 2-15 мкм. При получении пленок выдерживались следующие температурные режимы: температура подложки  $T_p = 590-600$  К, стенок испарительной камеры  $T_c = 850-870$  К, реактора для испарения  $T_r = 820-840$  К. Полученные пленки имели  $p$ -тип проводимости с исходной концентрацией носителей заряда  $3 - 7 \cdot 10^{17} \text{ см}^{-3}$ . Образцы облучались несфокусированным потоком альфа-частиц энергией 5.5 МэВ от источника  $Ru^{239}$  на карусельной установке при комнатной температуре. Плотность потока частиц составляла  $5 \cdot 10^7 \text{ см}^{-2} \cdot \text{с}^{-1}$ , а дозы облучения доводились до значений  $1.3 \cdot 10^{12} \text{ см}^{-2}$ . Электрические параметры пленок различной толщины измерялись в постоянных электрических

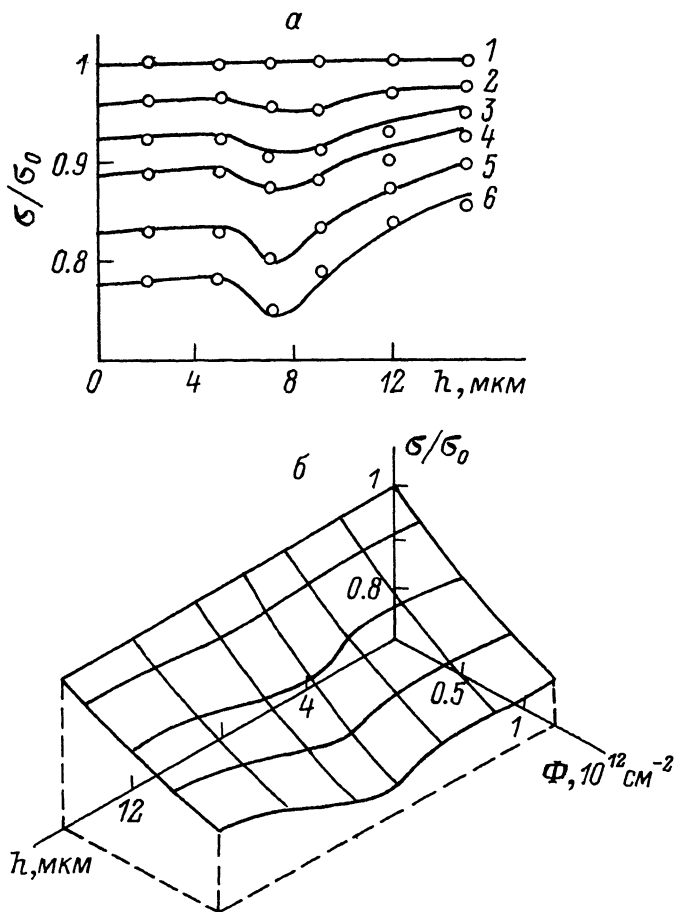


Рис. 1. Зависимости относительной удельной электропроводности  $\sigma/\sigma_0$  пленок  $PbSe$  от их толщины и дозы облучения  $\Phi$ . а) Экспериментальные значения: до облучения (1), после облучения дозой  $\Phi \cdot 10^{-12} \text{ см}^{-2}$ : 0.2 (2), 0.4 (3), 0.5 (4), 0.9 (5), 1.3 (6). б) Расчетная поверхность.

и магнитных полях компенсационным методом как до, так и после определенной дозы облучения.

2. Ранее [4] установлено, что альфа-облучение оказывает в пленках  $PbSe$  донорное действие. Средняя скорость изменения концентрации носителей заряда составляет  $\sim 6 \cdot 10^3 \text{ см}^{-1}$ . Удельная электропроводность пленок первоначально дырочной проводимости уменьшается. Полученные результаты объясняны преобладающим образованием междуузельных атомов свинца, играющих роль доноров [5]. Однако ранее не исследовано действие альфа-облучения на образцы различной толщины, обусловленное характером образования радиационных повреждений.

3. Эффективность действия альфа-частиц на изменение электрических параметров пленок определяется их толщиной (рис. 1). Общей закономерностью является то, что тонкие пленки (до 4 мкм) электрически нечувствительны к радиационному облучению. Незначительное изменение электропроводности наблюдается и для пленок толщиной более 12 мкм (рис. 1'). Наибольшие изменения относительные электропроводность и концентрация носителей заряда испытывают в пленках толщиной 6–8 мкм (рис. 1). При этом увеличение дозы облучения приводит к более резким изменениям электрических параметров (рис. 1).

4. Полученные экспериментальные результаты можно объяснить априорно предположив, что функция распределения радиационных дефектов по глубине имеет вид (рис. 2):

$$f(x) = k_1 \frac{1}{1 + \exp\left[\frac{x - x_0}{4x_0}\right]} + k_2 \exp\left[-\frac{(x - x_0)^2}{4x_0^2}\right], \quad (1)$$

где  $x_0$  – глубина максимума сосредоточения дефектов,  $4x_0$  – стандартное отклонение. Для упрощения расчетов принимаем, что при  $x = x_0$ ,  $f(x) = 1$ . Подобный профиль распределения дефектов присущ имплантации ионов [1, 6, 7]. Принимая во внимание, что сопротивление слоя – линейная функция концентрации дефектов.

$$\rho = \rho_0 + k \phi f(x), \quad (2)$$

где  $\rho_0$  – начальное удельное сопротивление,  $\phi$  – плотность потока частиц,  $k$  – коэффициент изменения удельного сопротивления на единицу потока, проводимость пленки толщиной  $h$  будет определяться как

$$\sigma = \frac{1}{h} \int_0^h \frac{dx}{\rho_0 + k \phi f(x)}. \quad (3)$$

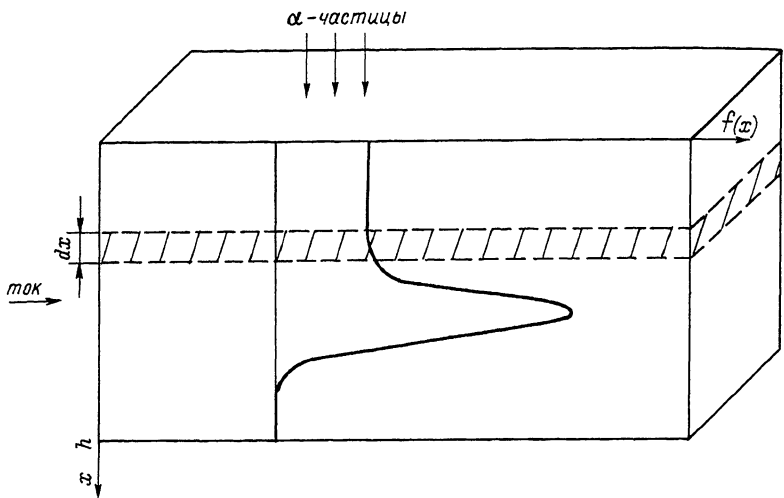


Рис. 2. Распределение дефектов по глубине пленки при альфа-облучении.

Неизвестные параметры  $k$ ,  $k_1$ ,  $k_2$ ,  $x_0$ ,  $\Delta x_0$  найдены из аппроксимации экспериментальных значений проводимости (рис. 1) по методу наименьших квадратов. В результате расчета получены следующие значения  $x_0 = 5.9$  мкм (пробег альфа-частиц в  $PbSe$  плотностью  $\rho = 8.3$  г/см<sup>3</sup> равен  $\Delta R = 6.4$  мкм),  $\Delta x_0 = 0.7$  мкм (расчетное значение  $\Delta R = 0.7 - 1.1$  мкм),  $k = 10^{-15}$  Ом·см<sup>3</sup>,  $k_1 = -0.32$ ,  $k_2 = 0.84$ . На рис. 2 представлены полученные в результате аппроксимации теоретические кривые, определяющие зависимость отношения проводимости пленок от их толщины и дозы облучения.

Расчетная поверхность (рис. 1,б) хорошо качественно объясняет экспериментальные результаты (рис. 1,а) и подтверждает возможность выбора такого профиля распределения дефектов.

#### Список литературы

- [1] Вавилов В.С., Кив А.Е., Ниязова О.Р. Механизмы образования и миграции дефектов в полупроводниках. М.: Наука, 1981. 368 с.
- [2] Palmetshofer L. // Appl. Phys. 1984. V. A34. N 3. P. 139-153.
- [3] Фрейк Д.М., Галушак М.А., Межило-ская Л.И. Физика и технология полупроводниковых пленок. Львов: Вища школа, 1988. 152 с.

- [4] Фреик Д.М., Салий Я.П., Межиловская Л.И., Собкович Р.И., Школьный А.К., Огородник Я.В. // ФТП. 1989. Т. 23. № 6. С. 710-714.
- [5] Зломанов В.П., Новоселова А.В. Р-Т-х диаграммы двухкомпонентных систем. М.: Наука, 1980. 120 с.
- [6] Риссел Х., Руге И. Ионная имплантация. М.: Наука, 1983. 360 с.
- [7] Kotai E., Pasrti F., Manuab A., Mezeu G. and al. // Nucl. Instr. and Meth. in Phys. Res. 1987. B. 19/20. P. 312-317.

Поступило в Редакцию  
29 августа 1989 г.

Письма в ЖТФ, том 15, вып. 23

12 декабря 1989 г.

04; 07

## ИССЛЕДОВАНИЕ ИСКРОВОГО РАЗРЯДА В ДЛИННЫХ ВОЗДУШНЫХ ПРОМЕЖУТКАХ С ПОМОЩЬЮ СВЕТОВОДНОГО ЭЛЕКТРООПТИЧЕСКОГО ДАТЧИКА

В.В. Куцаенко, А.В. Лупейко,  
Н.И. Петров, Е.Н. Чернов

Приводятся результаты экспериментального исследования искрового разряда в длинных воздушных промежутках с помощью оптического датчика напряженности электрического поля. Для измерения напряженности электрического поля, искаженного пространственным зарядом, используются различные устройства, в частности, емкостные датчики [1] и флюксметры [2]. Однако наличие проводящих частей в этих датчиках искажает измеряемое поле. Известен также оптический метод, основанный на эффекте Покельса, который был применен для измерения электрического поля искрового разряда в воздушных промежутках длиной 1 и 3 м при положительной полярности воздействующего напряжения [3]. Было показано, что максимальное значение электрического поля достигается на конце стримерной зоны и равняется 8-14 кВ/см, в чехле канала лидера напряженность электрического поля составляла 1-5 кВ/см. Отметим, что измерения электрического поля после пробоя промежутка в [3] не проводились.

В настоящей работе аналогичный датчик используется для измерения напряженности электрического поля, искаженного пространственным зарядом стримерной зоны и канала лидера, в воздушных промежутках длиной от 4-х до 20 метров при воздействии апериодических импульсов напряжения положительной полярности с соотношениями длительностей фронта и импульса  $\tau_\phi/\tau_u = 300/7500$  и  $15/7500$  мкс. Получен ряд качественно новых результатов, отсутствовавших в [3].